

## I - 15

## 回転を考慮した増分形有限変形解析

熊本大学工学部

正員

三池亮次

正員

小林一郎

○ 学生員

久木田祐次

1. はじめに。 えきに物体内部の任意点 $\mathbf{x}$ において物体力 $\mathbf{f}$ 、境界において表面力 $\mathbf{P}$ を受けて、変形の中間位置 $\mathbf{x}'$ からの有限変位 $\Delta \mathbf{u}$ を生じてつり合った状態にあり、その内部の任意点の Kirchhoff 応力が $\mathbf{T}_K$ で、それに対応する一種のひずみテンソル増分が $\Delta \mathbf{E}_k$ であるとき、有限変位 $\Delta \mathbf{u}$ に対して外力のなす仮想仕事の積分 $\Delta W$ は $\mathbf{T}_K$ が $\Delta \mathbf{E}_k$ に対してなす仮想仕事の物体内部の全領域にわたる積分に等しいことを示した。すなわち。

$$\begin{aligned} \Delta W &= \iint_A P \cdot \Delta u \, dA + \iint_V f \cdot \Delta u \, dV = \iint_A P^* \cdot \Delta u \, dA' + \iint_V f^* \cdot \Delta u \, dV' \\ &= \iint_V \text{trace} \left\{ T_K^T \left( \frac{\partial \mathbf{x}}{\partial \mathbf{x}'} \right)^T \frac{\partial \Delta u}{\partial \mathbf{x}'} \right\} dV' = \iint_V \text{trace} (\mathbf{T}_K^T \Delta \mathbf{E}_k) dV' = \Delta U \end{aligned} \quad (1)$$

ここに、面積要素 $dA$ と体積要素 $dV$ は変形後におけるもので、 $dA'$ と $dV'$ は中間状態における面積および体積要素である。また、ひずみテンソル $\Delta \mathbf{E}_k$ は、

$$\Delta \mathbf{E}_k = \Delta \mathbf{E}_g + \frac{1}{2} \left( \frac{\partial \Delta u}{\partial \mathbf{x}'} \right)^T \frac{\partial \Delta u}{\partial \mathbf{x}'} \quad (2)$$

のように、Greenひずみテンソル増分 $\Delta \mathbf{E}_g$ と、回転を示す $(\partial \Delta u / \partial \mathbf{x}')^T \partial \Delta u / \partial \mathbf{x}'$ との和と定義され、Greenひずみテンソル $\Delta \mathbf{E}_g$ は、

$$\Delta \mathbf{E}_g = \frac{1}{2} \left\{ \frac{\partial \Delta u}{\partial \mathbf{x}'} + \left( \frac{\partial \Delta u}{\partial \mathbf{x}'} \right)^T + \left( \frac{\partial \Delta u}{\partial \mathbf{x}'} \right)^T \frac{\partial \Delta u}{\partial \mathbf{x}'} \right\} \quad (3)$$

であり、Kirchhoff応力テンソルは、

$$\mathbf{T}_K^T = \begin{bmatrix} \frac{\partial A}{\partial A'} & 0 & 0 \\ 0 & \frac{\partial A_2}{\partial A'} & 0 \\ 0 & 0 & \frac{\partial A_3}{\partial A'} \end{bmatrix} \sum^T \begin{bmatrix} \frac{1}{J g_{11}} & 0 & 0 \\ 0 & \frac{1}{J g_{22}} & 0 \\ 0 & 0 & \frac{1}{J g_{33}} \end{bmatrix}, \quad \sum^T = \begin{bmatrix} \sigma_{11} & \sigma_{12} & \sigma_{13} \\ \sigma_{21} & \sigma_{22} & \sigma_{23} \\ \sigma_{31} & \sigma_{32} & \sigma_{33} \end{bmatrix} \quad (4)$$

である。 $\sum$ は、いわゆる変形後の物理応力マトリックスで、 $g_{ij}$ は、共変計量テンソル $G = (\partial \mathbf{x} / \partial \mathbf{x}') \partial \mathbf{x} / \partial \mathbf{x}'$ の対角要素である<sup>1)</sup>

2. 有限変位仮想仕事の原理 2次元骨組構造で、 $\sigma_{22} = 0$ であり、また、せん断力 $\sigma_{12}$ と $\sigma_{21}$ の影響が無視できる場合に、式(1)において、

$$\frac{\partial \mathbf{x}}{\partial \mathbf{x}'} = \begin{bmatrix} \frac{\partial x}{\partial x'} & \frac{\partial x}{\partial x'} & \frac{\partial x}{\partial x'} \\ l_1 \frac{\partial u_1}{\partial x'} & l_1 \frac{\partial u_1}{\partial x'} & l_1 \frac{\partial u_1}{\partial x'} \\ l_2 \frac{\partial u_2}{\partial x'} & l_2 \frac{\partial u_2}{\partial x'} & l_2 \frac{\partial u_2}{\partial x'} \end{bmatrix} = [\mathbf{e}_1, \mathbf{e}_2, \mathbf{e}_3] \quad (5)$$

ここに、 $\mathbf{e}_i$ は共変基底ベクトルで、中間状態における埋込直交座標の任意点の座標線の変形後の方向余弦を $l_i$ とすると、 $l_i = e_i / \sqrt{g_{ii}}$ であるから式(1)より、

$$\begin{aligned} \Delta U &= \iint_V \text{trace} \left\{ \left[ \sigma_{11} \frac{\partial A}{\partial A'} \quad 0 \right] \left[ l_1 \frac{\partial \Delta u}{\partial x'} \quad l_1 \frac{\partial \Delta u}{\partial x'} \right] \right\} dV' \\ &= \iint_V \sigma_{11} \frac{\partial A}{\partial A'} l_1 \cdot \frac{\partial \Delta u}{\partial x'} dV' \end{aligned} \quad (6)$$

式(6)において、必ずしもひずみは微小でなくともよい。また、図-1の $l_i \cdot \delta \Delta u$ は、

$$l_i \cdot \delta \Delta u = \delta \Delta u_1 + \delta \Delta u_e \quad (7)$$

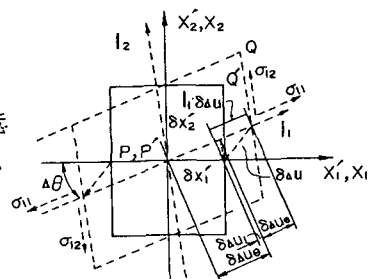


図1 物体内部の微小形要素の有限変形

すなわち、伸び  $\delta u_{le}$  と回転に伴う見かけの伸び  $\delta u_i = \delta x_i(1 - \cos \alpha\theta_i)$  の和であることがわかるから。

$$\Delta U' = \iint_V T_{ii} \frac{\partial A_i}{\partial x_i} \left\{ \frac{\partial \delta u_{le}}{\partial x_i} + (1 - \cos \alpha\theta) \right\} dV \quad (8)$$

上式の  $\frac{\partial \delta u_{le}}{\partial x_i}$  は、縦ひずみを、 $(1 - \cos \alpha\theta)$  は見かけのひずみである。

中間状態と変形後における面積要素の  $\delta A'_i \approx \delta A_i$  であり、変形後の物理的直応力  $T_{ii}$  が、平面保持の法則に従い、軸力  $N + \Delta N$ 、および、曲げモーメント  $M + \Delta M$  を表わすと、

$$T_{ii} = \frac{N + \Delta N}{A} + \frac{M + \Delta M}{I} \cdot X \quad (9)$$

ここに、 $X$  は中立軸からの距離であり、また、ひずみは、

$$\frac{\partial \delta u_{le}}{\partial x_i} = \frac{4N}{EA} + \frac{4M}{EI} \cdot X \quad (10)$$

で、これを式(8)に代入すると、ひずみエネルギー  $\Delta U'$  は、部材軸方向の線素  $s$  についての積分と 1 次のようになる。

$$\begin{aligned} \Delta U' &= \int_L \left[ \left\{ \frac{4N}{EA} + (1 - \cos \alpha\theta) \right\} (N + \Delta N) + \frac{4M}{EI} (M + \Delta M) \right] ds \\ &= \int_L \left[ \left\{ \Delta e_m' + (1 - \cos \alpha\theta) \right\} (N + \Delta N) + \Delta \theta (M + \Delta M) \right] ds \end{aligned} \quad (11)$$

3. 計算例 上記の理論を接続マトリックスを用いて定式化すると、式(1)において、 $P_m^T = [N, M]$ 、  
 $\Delta e_m^T = [\Delta e_m', \Delta \theta]$ 、 $\Delta e_\theta^T = [(1 - \cos \alpha\theta), 0]$ 、 $\Delta e_m = \Delta e_m' + \Delta e_\theta$  とおけば、

$$\Delta U' = \int_L (P_m + \Delta P_m)^T \Delta e_m ds \quad (12)$$

である。接続マトリックス  $(C + \Delta C)$  を用いる解法に従い、中間状態からの荷重が  $P$  より  $\Delta P$  増大したときの変位増分は、

$$\Delta d = K^T \{ \Delta P - \Delta C P_m + (C + \Delta C) K_m \Delta e_\theta \}, \quad K = (C + \Delta C) K_m (C + \Delta C)^T \quad (13)$$

である。ここに、 $P_m$  は断面力のベクトル、 $K_m$  はひずみベクトル  $\Delta e_m$  と  $\Delta P_m$  との間の剛性マトリックス。  
 $\Delta e_m$  は、回転を伴う見かけのひずみベクトルである。

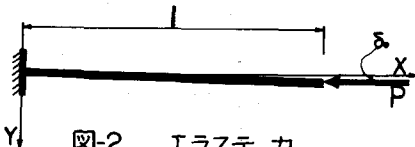


図-2 エラスティカ

式(13)に従い、図-2 に示すエラスティカの解析と、下記の諸量によつて部材を 4 等分、8 等分に分割して行った。

$$EA = EI = 10^6$$

$$l = 200 \text{ cm}, \quad \delta_0 = l/1000$$

$$P_{cr} = 61.685 \text{ kg}$$

— 理論解

• 4 部材要素

• 8 部材要素

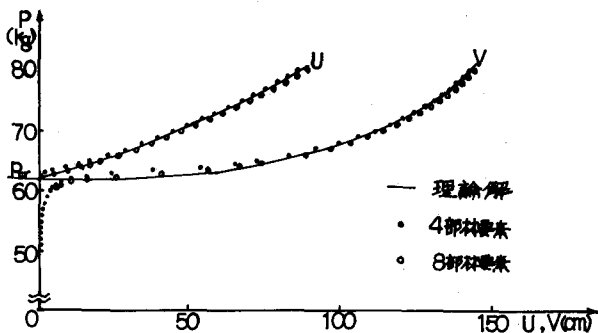


図-3 自由端の荷重-変位曲線(U:水平変位, V:鉛直変位)

図-3 に、その解析結果と、チモシエンコの座屈理論による解を示す。

参考文献：1)三池亮次「有限変形における増分形エネルギー基礎理論」土木学会論文報告集 300号、1984年5月。